

การประชุมวิชาการเครือข่ายวิศวกรรมเครื่องกลแห่งประเทศไทยครั้งที่ 14
2-3 พฤษภาคม 2543 โรงแรม โนโวเทล เชียงใหม่

การศึกษาพฤติกรรมการดีดกลับจากการดัดรูปตัววีของโลหะแผ่นแอนิโซotropic ไอโซทรอปิก

The Study of Springback In V-Bending of Anisotropic Sheet Metals

ชาญ ณัดงาน

ภาควิชาวิศวกรรมการผลิต คณะวิศวกรรมศาสตร์ สถาบันเทคโนโลยีพระจอมเกล้าฯ พระนครเหนือ

กรุงเทพฯ 10802

โทร 02-9132500, โทรสาร 02-5870029, E-Mail : chn@kmitnb.ac.th

ศิริศักดิ์ หาญชุวงค์

ภาควิชาวิศวกรรมเครื่องกล คณะวิศวกรรมศาสตร์ สถาบันเทคโนโลยีพระจอมเกล้าฯ พระนครเหนือ

กรุงเทพฯ 10802

โทร 02-9132500, โทรสาร 02-5870026, E-Mail : shw@kmitnb.ac.th

พิชัย จันทร์มณี

คณะเทคโนโลยีการผลิต สถาบันเทคโนโลยีราชมงคล วิทยาเขตเทคโนโลยีกรุงเทพฯ

กรุงเทพฯ 10120

โทร 02-2873211-25 ต่อ 141

บทคัดย่อ

บทความนี้นำเสนอพฤติกรรมการดีดกลับจากการดัดรูปตัววีของโลหะแผ่นแอนิโซotropic ไอโซทรอปิก โดยเปรียบเทียบค่าการดีดกลับกับทฤษฎีกับผลการทดลองในทิศทางที่ทำมุกกับแนวการรีดโลหะตั้งแต่ 0 ถึง 90° องศา นอกจากนี้ยังนำเสนอผลการทดลองของค่าแอนิโซotropic ในแนวตั้งจาก (R) ที่มีต่อการดีดกลับ โลหะแผ่นที่ใช้ในการทดลองได้แก่ เหล็กกล้าไร้สนิม SUS 304 ขนาด 40x80x2 mm ทดสอบการดีดกลับด้วยแม่พิมพ์ดัดรูปตัววี 90° ความกว้างด้วย 50 mm รัศมีที่ปลายพื้นช์มีค่าระหว่าง 2-10 mm และวัดขนาดด้วยเครื่องมือวัด 3 แกน นำไปเปรียบเทียบกับผลการคำนวณ จากผลการทดลองพบว่า R มีค่าสูงสุด 1.066 ในทิศทางทำมุก 45° กับแนวการรีดโลหะ และการดีดกลับมีค่าเพิ่มขึ้น เมื่อค่า R เพิ่มขึ้น และ/หรือเมื่ออัตราการดัด (r/t) มากขึ้น จากการเปรียบเทียบผลการคำนวณมุกดีดกลับกับผลการทดลองพบว่ามีความแตกต่างกันสูงสุด 15% หรือเป็นมุก 0.41°

Abstract

This paper presents the springback action in V-bending of anisotropic sheet metal by comparing its theoretical with its experimental springback obtained in direction to the rolling direction from 0 to 90°. Moreover, the effect of normal anisotropic value R on springback is also included.

This sheet metal used in the experiment is stainless steel strip SUS 304 with the dimensions of 40x80x2 mm. The experiment is conducted in V-bending die of 90° angle, 50 mm width. The springback angle was measured using CMM. The results reveal that the greatest R -value is of 1.066 at angle 45° to the rolling direction; and springback increases as the R -value and/or bending ratio r/t increase. The maximum difference of springback angles between predicted value and experimental one is 15% or 0.41°.

1. บทนำ

การขึ้นรูปโลหะแผ่นทั่วไป สิ่งที่มีความสำคัญนอกจากเครื่องมือและกรรมวิธีแล้ว สมบัติเชิงกลของโลหะแผ่นก็มีความสำคัญมากด้วย เนื่องจากสมบัติเชิงกลของโลหะแผ่นขึ้นอยู่กับทิศทางผลลัพธ์หรือโครงสร้างซึ่งเปลี่ยนแปลงไปตามทิศทางที่ทำมุกกับทิศทางการรีดโลหะแผ่น เมื่อนำไปขึ้นรูปในทิศทางที่ต่างกันจะให้ผลที่แตกต่างกันด้วย

ปัญหาสำคัญในการดัดขึ้นรูปโลหะแผ่นก็คือการดีดกลับ (springback) หลังจากการเลื่อนพื้นช์ออกจากชิ้นงาน ทำให้รูปทรงของชิ้นงานไม่เป็นไปตามที่ต้องการ ขนาด รูปทรง และความแม่นยำของชิ้นงานลดลง และเนื่องจากสมบัติเชิงกลของโลหะแผ่นแตกต่างกันไปในหลายทิศทาง การดีดกลับที่เกิดขึ้น

จึงแตกร่องกันด้วย

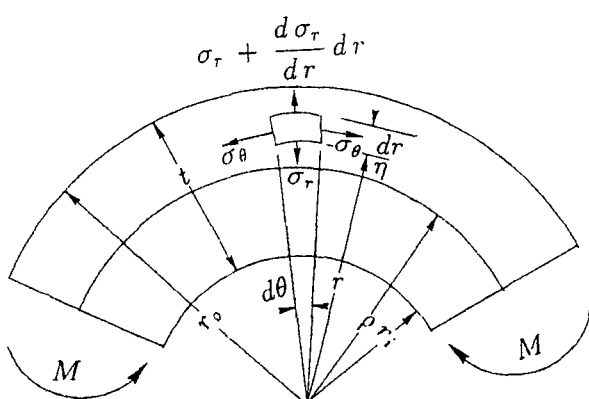
งานวิจัยนี้มีวัตถุประสงค์ในการศึกษาเบรย์บเที่ยบผลของแอนไอโซทรอยปิกในแนวตั้งจาก R ที่มีต่อการตัดกลับการตัดกลับของโลหะแผ่น และเบรย์บเที่ยบการตัดกลับจากการคำนวณกับการทดลองของเหล็กกล้าไร้สนิม SUS304 ขนาด $40 \times 80 \times 2$ mm ซึ่งตัดเป็นรูปตัววี 90° ในรายการกว้าง 50 mm โดยใช้พั๊นช์ที่มีรัศมีปลายพื้นที่ขนาดตั้งแต่ 2 ถึง 10 mm โดยเพิ่มขนาดครั้งละ 1 mm

2. ทฤษฎี

การตัดแผ่นโลหะบางมักใช้สมมติฐานเพื่อให้สามารถสร้างตัวแบบแบบเชิงคณิตศาสตร์อย่างง่ายคือ: (ก) วัสดุมีสมบัติแข็งแรง-พลาสติก, แข็งด้วยความเครียด และแอนไอโซทรอยปิก, (ข) การเปลี่ยนรูปในการตัดเป็นแบบความเครียดในระนาบ, (ค) ไม่มีผลของเบาชิงเกอร์ (Bauschinger effect) และอัตราความเครียด, และ (ง) ใช้ทฤษฎีสภาพพลาสติกแอนไอโซทรอยปีของฮิลล์ (Hill's theory of plastic anisotropy) เพื่อใช้อธินายลักษณะเฉพาะแอนไอโซทรอยปิกของโลหะแผ่น และสมมติว่าลักษณะเฉพาะของการทำให้แข็งด้วยความเครียดของโลหะแผ่นอยู่ในรูปแบบ

$$\sigma_e = K \varepsilon_e^n \quad (1)$$

เมื่อ σ_e คือความเค้นยังผล (effective stress), ε_e คือความเครียดยังผล, K คือสัมประสิทธิ์ความต้านแรง และ n คือเลขชี้กำลังการทำให้แข็งด้วยความเครียด.

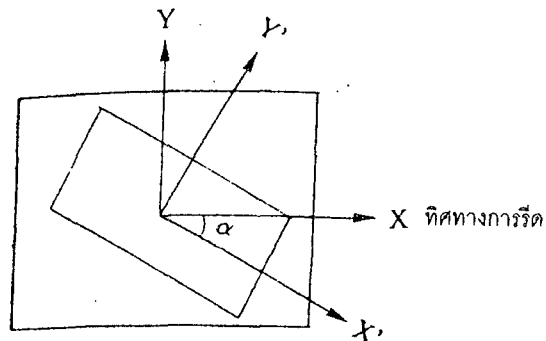


รูปที่ 1 แบบจำลองสำหรับวิเคราะห์การตัดบริสุทธิ์

พิจารณาการตัดบริสุทธิ์ดังรูปที่ 1 ฮิลล์ [2] เลือกใช้แกนหลักเป็นแกนคาร์ทีเซียน เกณฑ์ที่ใช้อธินายการครากิกลัดเดียง กับเกณฑ์การครากของฟอนมิเชส (von Mises) ซึ่งเขียนในรูปแบบของสมการกำลังสองดังนี้

$$2f(\sigma_{ij}) \equiv F(\sigma_y - \sigma_z)^2 + G(\sigma_z - \sigma_x)^2 + H(\sigma_x - \sigma_y)^2 + 2L\tau_{yz}^2 + 2M\tau_{zx}^2 + 2N\tau_{xy}^2 = 1 \quad (2)$$

เมื่อ F, G, H, L, M, N คือพารามิเตอร์ลักษณะเฉพาะของสภาพแอนไอโซทรอยปี. ถ้า $L = M = N = 3F = 3G = 3H$ แล้วจะเป็นการสมมาตรของทรงกลมคือสภาพไอโซทรอยปีและสมการ (2) ลดรูปลงเป็นเกณฑ์การครากของฟอนมิเชส



รูปที่ 2 แผ่นโลหะที่ตัดเอียงทำมุม α กับทิศทางการตัด

สำหรับแผ่นโลหะที่เอียงทำมุม α กับทิศทางการตัดดังรูปที่ 2 เนื่องในการครากของฮิลล์หลังจากผลกระทบอันดับสูงและผลการเฉือนได้

$$2f(\sigma_{ij}) = F'(\sigma_y - \sigma_z)^2 + G'(\sigma_z - \sigma_x)^2 + H'(\sigma_x - \sigma_y)^2 = 1 \quad (3)$$

เมื่อ $F' = F \cos^2 \alpha + G \sin^2 \alpha$, $G' = F \sin^2 \alpha + G \cos^2 \alpha$,

$$H' = H (\cos^2 \alpha - \sin^2 \alpha)^2 + 2N \sin^2 \alpha \cos^2 \alpha + (F + G) \sin^2 \alpha \cos^2 \alpha$$

จากรูปที่ 1 สามารถเขียนสมการสมดุลในแนวตั้งมีได้ดังนี้

$$\frac{d\sigma_r}{dr} = -\frac{\sigma_\theta - \sigma_r}{r} = \pm \frac{C}{r} \quad (4)$$

Ley [6] ได้เสนอผลเฉลยของสมการ (4) ที่สอดคล้องกับกฎการไฟลของวัสดุไอโซทรอยปิกคล้ายกับสมการของ Levy-Mises คือ $d\varepsilon_{ij} = d\lambda \frac{\partial f(\sigma_{ij})}{\partial \sigma_{ij}}$ จึงเขียนเกณฑ์การครากได้ดังนี้

$$\sigma_\theta - \sigma_r = \sqrt{\frac{F' + H'}{F'H' + F'G' + G'H'}} = \pm C \quad (4)$$

เมื่อ C เป็นพังค์ชันของมุม α

กรณีของวัสดุแอนไโอโซกรอปิกซึ่งมีค่าแอนไโอโซกรอปิกในแนวตั้งฉากร R เมื่อสมมติว่า R มีค่าคงตัวลดการขึ้นรูปเงื่อนสามารถเขียนสมการ (4) ได้ใหม่เป็น

$$\sigma_\theta - \sigma_r = \pm \frac{1+R}{\sqrt{1+2R}} \sigma_e \quad (5)$$

เมื่อ σ_e คือความเด่นยังผลเฉลี่ยและสมมติว่าคงด้วยความเด่น σ_0 ที่รักมี r_0 คือ

$$\sigma_\theta = \frac{1+R}{\sqrt{1+2R}} \sigma_e \quad (6)$$

การพื้นตัวยีดหยุ่นหลังจากการดัดทำให้เกิดการดีดกลับซึ่งมักสมมติว่า โมเมนต์ที่คลายออก ΔM มีค่าเท่ากับโมเมนต์ดัดที่กระทำ M และมีทิศทางตรงข้าม

จากการเปลี่ยนรูปปัจจุบันหลังการคลายโหลด เมื่อคิด
สภาพความเครียดในระบบ $\Delta\sigma_\theta = E' \Delta\varepsilon_\theta$ ซึ่ง E' คือโมดูลัส
ยืดหยุ่นสำหรับความเครียดในระบบ และ

$$\Delta\varepsilon_\theta = \frac{\eta}{\rho} - \frac{\eta}{\rho^*} \quad (7)$$

เมื่อ p และ p^* คือรัศมีของแกนสะเทินก่อนและหลังการคลายโอลด์

จากทฤษฎีการดัดอย่างง่าย โนเมนต์ที่คล้ายออกซิโ

$$\Delta M = 2b \int_0^{t/2} \Delta\sigma_\theta \eta \, d\eta = \frac{b E t^3}{12(1-v^2)} \left(\frac{1}{\rho} - \frac{1}{\rho^*} \right) \quad (8)$$

สมมติให้ความเค้นยังผล $\sigma_e = (1 + n) \sigma_e$ มีค่าคงตัว เมื่อ σ_e คือความเค้นยังผลเฉลี่ย ดังนั้นโมเมนต์ตัดที่กระทำคือ

$$M = \frac{1+R}{\sqrt{1+2R}} \frac{\sigma_e}{(1+n)} \frac{bt^2}{4} \\ = K \left(\frac{1+R}{\sqrt{1+2R}} \right)^{1+n} \frac{bt^2 (t/2\rho)^n}{4(1+n)} \quad (9)$$

$$\text{เมื่อ } \sigma_e = K \left(\frac{1+R}{\sqrt{1+2R}} \right)^n \left(\ln \frac{r_0}{P} \right)^n \approx K \left(\frac{1+R}{\sqrt{1+2R}} \right)^n \left(\frac{t}{2P} \right)^n$$

และ $K = \frac{R_m}{e^{-\bar{n}_m \bar{n}}}$, ดังนั้นมีการคลายโหลดทำให้เกิดการพื้นด้วยค่า $\Delta M = M$ ได้

$$\frac{1}{\rho} - \frac{1}{\rho^*} = K \left(\frac{1+R}{\sqrt{1+2R}} \right)^{1+n} \frac{3(1-v^2)(t/2\rho)^n}{E(1+n)t} \quad (10)$$

จากความสัมพันธ์ $\rho_{\theta} = \rho^*_{\theta^*}$ จึงเขียนสมการข้างต้นได้เป็น

$$\frac{\Delta\theta}{\theta} = \frac{1/\rho - 1/\rho^*}{1/\rho}$$

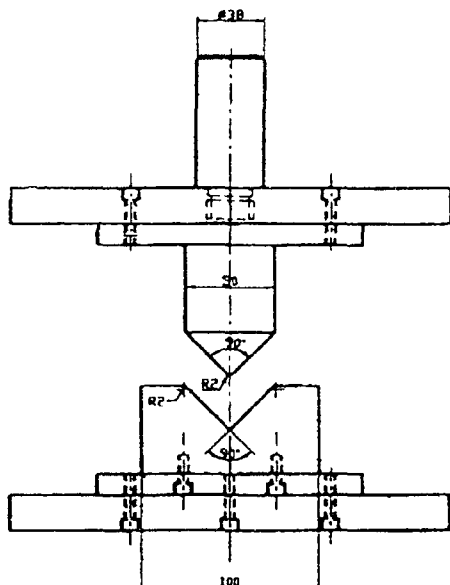
$$\frac{\Delta\theta}{\theta} = K \left(\frac{1+R}{\sqrt{1+2R}} \right)^{1+n} \frac{3(1-v^2)(t/2\rho)^{n-1}}{2E(1+n)} \quad (11)$$

สมการนี้ใช้หามุมดีดกลับในทิศทางต่างๆ ที่ทราบค่า R

3. ກາຣທຄອງ

3.1 อปกรณ์การทดสอบ

เครื่องมือที่ใช้ทดสอบหาค่า R คือเครื่องทดสอบการดึง และทดสอบตามมาตรฐาน ASTM E517-92a ส่วนการทดสอบการตีกกลับได้ออกแบบและสร้างแม่พิมพ์ดั้งรูปตัววี 90° 1 ชุด ซึ่งสามารถถอดเปลี่ยนพันธ์ที่มีรัศมีปลายพันธ์ 2, 3, 4, 5, 6, 7, 8, 9 และ 10 mm ส่วนตายเป็นรูปตัววีมุม 90° กว้าง 50 mm ลังรูปที่ 3 ชิ้นทดสอบดัดจากเหล็กกล้าไรสันนิม SUS 304 ขนาดกว้าง 40 mm ยาว 80 mm หนา 2 mm โดยตัดทำมุมกับทิศทางการรีด 0, 15, 30, 45, 60, 75 และ 90°



รูปที่ 3 แม่พิมพ์ที่ใช้ทดสอบ

3.2 วิธีการทดสอบ

1. นำชิ้นทดสอบมากดด้านแม่พิมพ์ โดยกดลงไปบนกระทั้งระยะห่างระหว่างพื้นที่กับสายเท่ากับความหนาของชิ้นทดสอบเพื่อไม่ให้เกิดการกดอัด
 2. นำอุกามาวัดมนุนและรัศมีการดัดด้วยเครื่องมือวัดสามมิติ

4. អនករដ្ឋបាន

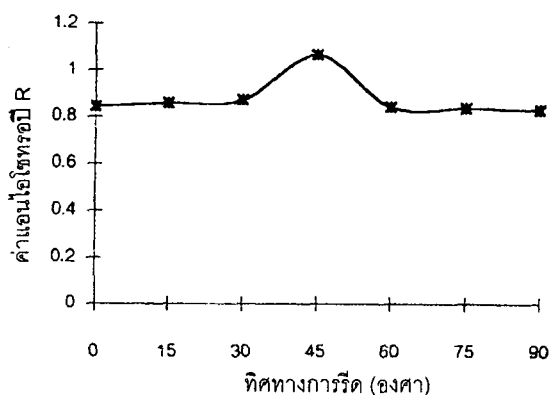
จากผลการทดลองทางคุณสมบัติของเหล็กกล้าไร้สนิม SUS 304 ซึ่งตัดมุมต่างๆ กับทิศทางการรีด ได้ค่าเฉลี่ยซึ่งกำหนดการท่าให้แข็งด้วยความเครื่อง น. ค่าเฉลี่ยอยู่ในกรอบกว้างๆ

R , อัตราส่วนของปั๊วของ v , ความด้านแรงดึงคราย R_p , ความด้านแรงดึง R_m , และเบอร์เชน์ความยืดก่อนขาด Elon. ดังตารางที่ 1

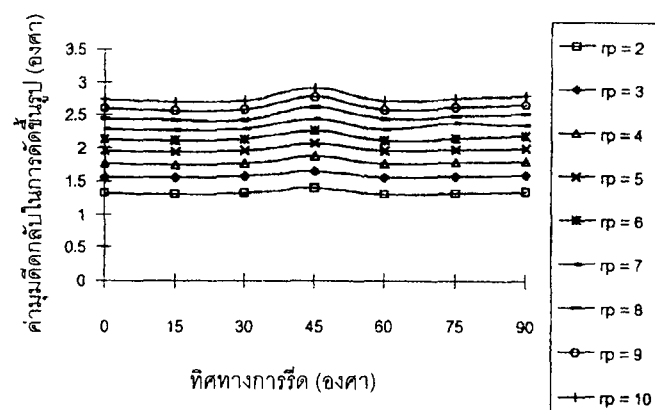
ตารางที่ 1 ผลการทดสอบสมบัติเชิงกลของ แผ่นเหล็กกล้าไร้สนิม SUS 304

มุม	ค่า k	ค่า R	v	R_p (MPa)	R_m (MPa)	Elon.
0	0.459	0.843	0.286	303.13	640.31	53.23
15	0.464	0.857	0.290	302.84	640.20	53.15
30	0.472	0.871	0.278	301.99	640.10	53.22
45	0.455	1.066	0.278	304.93	640.72	55.04
60	0.459	0.842	0.280	302.79	639.83	52.32
75	0.448	0.838	0.283	301.55	639.38	52.22
90	0.446	0.832	0.278	301.33	638.97	51.86

เมื่อนำค่า R ไปplot จุดเทียบกับทิศทางการรีดได้ความสัมพันธ์ดังรูปที่ 4



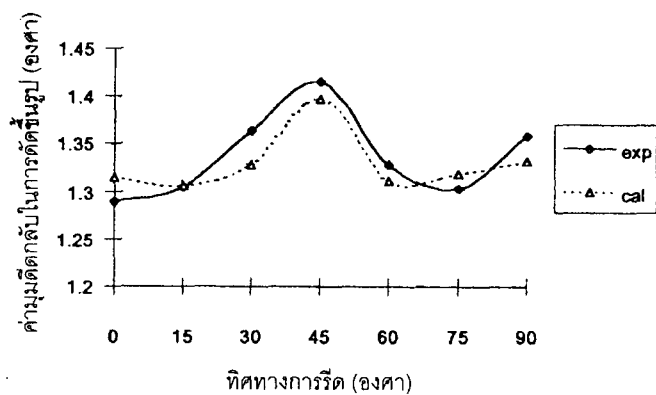
รูปที่ 4 ความสัมพันธ์ระหว่างค่า R กับทิศทางการรีด



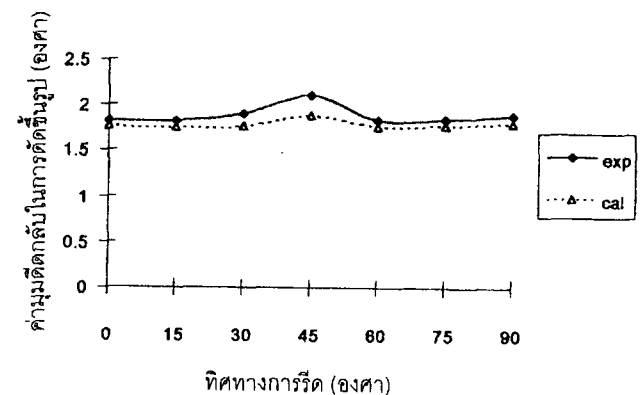
รูปที่ 5 มุมดีดกลับจากการทดลองดัดเหล็กกล้าไร้สนิม SUS 304 เป็นรูปด้วย 90°

ผลการทดลองวัดมุมดีดกลับของขั้นตอนหดสอบซึ่งตัดทำมุมต่างๆ กับทิศทางการรีด แล้วตัดในแม่พิมพ์รูปด้วย 90° โดยวัดด้วยเครื่องวัดໂຄอර์ดิเนต แสดงในรูปที่ 5

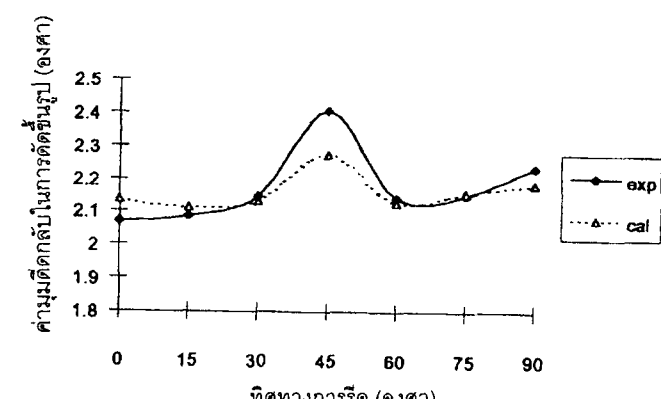
การเปรียบเทียบผลการทดลองกับผลการคำนวณมุมดีดกลับของเหล็กกล้าไร้สนิม SUS 304 ที่รัศมีพื้นที่แตกต่างกัน ตั้งแต่ 2, 4, 6, 8 และ 10 mm แสดงในรูปที่ 6 ถึง 10



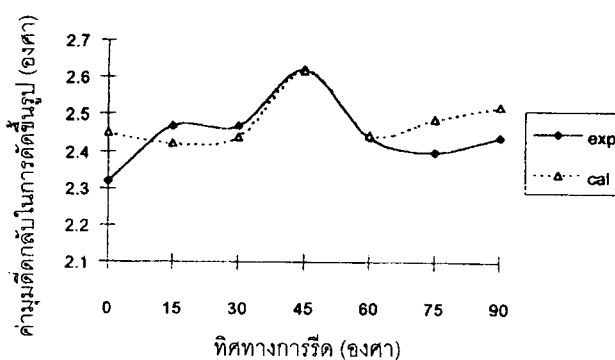
รูปที่ 6 ผลต่างของมุมดีดกลับจากการทดลองกับการคำนวณในการดัดรูปด้วย 90° , รัศมีพื้นที่ 2 mm



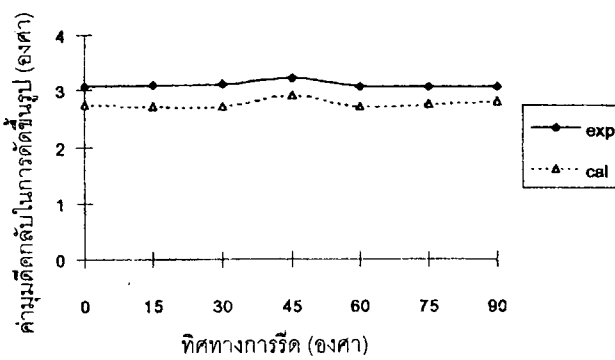
รูปที่ 7 ผลต่างของมุมดีดกลับจากการทดลองกับการคำนวณในการดัดรูปด้วย 90° , รัศมีพื้นที่ 4 mm



รูปที่ 8 ผลต่างของมุมดีดกลับจากการทดลองกับการคำนวณในการดัดรูปด้วย 90° , รัศมีพื้นที่ 6 mm



รูปที่ 9 ผลต่างของมุมเด็กลับจากการทดลองกับการคำนวณในการดัดรูปตัววี 90° , รัศมีพื้นช์ 8 mm



รูปที่ 10 ผลต่างของมุมเด็กลับจากการทดลองกับการคำนวณในการดัดรูปตัววี 90° , รัศมีพื้นช์ 10 mm

5. สรุป

- ค่าแอนไอโซกรอบีในแนวตั้งจาก R มีค่าสูงสุด 1.066 ในทิศทางทำมุม 45° กับทิศทางการรีด และมีค่าต่ำสุด 0.832 ในทิศทางทำมุม 90° กับทิศทางการรีด
- การเด็กลับมีค่าเพิ่มขึ้น เมื่อค่า R เพิ่มขึ้น

3. ยัตราชาราดัด r/t มาก มีการเด็กลับมาก และ r/t น้อย มีการเด็กลับน้อย

4. การคำนวณมุมเด็กลับให้ผลสอดคล้องกับผลการทดลอง

เอกสารอ้างอิง

- [1] พิชัย จันทร์ณี, “การศึกษาพฤติกรรมการเด็กลับในการดัดรูปตัววีของโลหะแผ่นที่มีคุณสมบัติแอนไโซกรอบี”, วิทยานิพนธ์, สถาบันเทคโนโลยีพระจอมเกล้าพระนครเหนือ, 2542
- [2] R. Hill, “The Mathematical Theory of Plasticity”, Clarendon Press, Oxford, 1967
- [3] A. Chandra, “Real-Time Identification and Control of Springback in Sheet Metal Forming”, ASME Journal of Engineering for Industry, V. 109, 1977, pp. 265-273
- [4] Z. Marciniak and J.L. Duncan, “The Mechanics of Sheet Metal Forming”, Edward Arnold, 1992
- [5] W.F. Hosford and R.M. Caddell, “Metal Forming: Mechanics and Metallurgy”, Prentice Hall, 1993
- [6] D. K. Leu, “A Simplified Approach for Evaluating Bendability and Springback in Plastic Bending of Anisotropic Sheet Metals”, Journal of Material Processing Technology, V. 66, 1997, pp. 9-17
- [7] J. Danckert and K.B. Nielsen, “Determination of the Plastic Anisotropy r in Sheet Metal Using Automatic Tensile Test Equipment”, Journal of Material Processing Technology, V. 73, 1998, pp. 276-280